

# STP projekt 1

Janusz Kubiak

## Wstęp

Proces dynamiczny omawiany w zadaniu jest opisany transmitancją:

$$G(s) = \frac{(s+2)(s+10)}{(s-11)(s+12)(s+13)}$$

## Transmitancja dyskretna

Ekstrapolator zerowego rzędu ma postać:

$$G(z) = \left( \frac{z-1}{z} \right) Z \left( \frac{G(s)}{s} \right)$$

$$\begin{aligned} G(s) &= \frac{(s+2)(s+10)}{(s-11)(s+12)(s+13)} = \\ &= \frac{s^2 + 12s + 20}{(s-11)(s+12)(s+13)} = \\ &= \frac{A}{s-11} + \frac{B}{s+12} + \frac{C}{s+13} = \\ &= \frac{(A+B+C)s^2 + (25A+2B+C)s + (156A-143B-132C)}{(s-11)(s+12)(s+13)} \end{aligned}$$

$$A + B + C = 1$$

$$25A + 2B + C = 12$$

$$156A - 143B - 132C = 20$$

Po kilku przekształceniach:

$$A = \frac{273}{552} \approx 0.4946$$

$$B = -\frac{480}{552} \approx -0.8696$$

$$C = \frac{759}{552} \approx 1.375$$

$$\begin{aligned}
G(z) &= \left( \frac{z-1}{z} \right) Z \left( \frac{0.4946}{s(s-11)} - \frac{0.8696}{s(s+12)} + \frac{1.375}{s(s+13)} \right) = \\
&= \left( \frac{z-1}{z} \right) Z \left( -0.0450 \frac{-11}{s(s-11)} - 0.0725 \frac{12}{s(s+12)} + 0.1058 \frac{13}{s(s+13)} \right) = \\
&= \left( \frac{z-1}{z} \right) \left( -\frac{0.0450(1-e^{11T})z}{(z-1)(z-e^{11T})} - \frac{0.0725(1-e^{-12T})z}{(z-1)(z-e^{-12T})} + \frac{0.1058(1-e^{-13T})z}{(z-1)(z-e^{-13T})} \right) = \\
&= -0.0450 \frac{1-e^{5.5}}{z-e^{5.5}} - 0.0725 \frac{1-e^{-6}}{z-e^{-6}} + 0.1058 \frac{1-e^{-6.5}}{z-e^{-6.5}} \approx \\
&\approx \frac{10.9661}{z-244.6919} - \frac{0.0723}{z-0.0025} + \frac{0.1056}{z-0.0015} \approx \\
&\approx \frac{10.9994(z-0.7401)(z-0.0047)}{(z-244.6919)(z-0.0025)(z-0.0015)} \approx \\
&\approx \frac{10.9994z^2 - 8.1923z + 0.0381}{z^3 - 244.696z^2 + 0.9788z - 0.0009}
\end{aligned}$$

Zera:  $z_1^z = 0.7401$  i  $z_2^z = 0.0047$

Bieguny:  $z_1^b = 244.6919$ ,  $z_2^b = 0.0025$  i  $z_3^b = 0.0015$

## Reprezentacje modelu w przestrzeni stanów

$$G(z) \approx \frac{10.9994z^2 - 8.1923z + 0.0381}{z^3 - 244.696z^2 + 0.9788z - 0.0009} =$$

$$= \frac{10.9994z^{-1} - 8.1923z^{-2} + 0.0381z^{-3}}{1 - 244.696z^{-1} + 0.9788z^{-2} - 0.0009z^{-3}}$$

Wariant pierwszy

$$\mathbf{A} = \begin{bmatrix} -a_{n-1} & -a_{n-2} & \dots & -a_1 & -a_0 \\ 1 & 0 & \dots & 0 & 0 \\ 0 & 1 & \dots & 0 & 0 \\ \dots & \dots & \dots & \dots & \dots \\ 0 & 0 & \dots & 1 & 0 \end{bmatrix} \quad \mathbf{B} = \begin{bmatrix} 1 \\ 0 \\ 0 \\ \dots \\ 0 \end{bmatrix}$$

$$\mathbf{C} = [b_{n-1} \quad b_{n-2} \quad \dots \quad b_0]$$

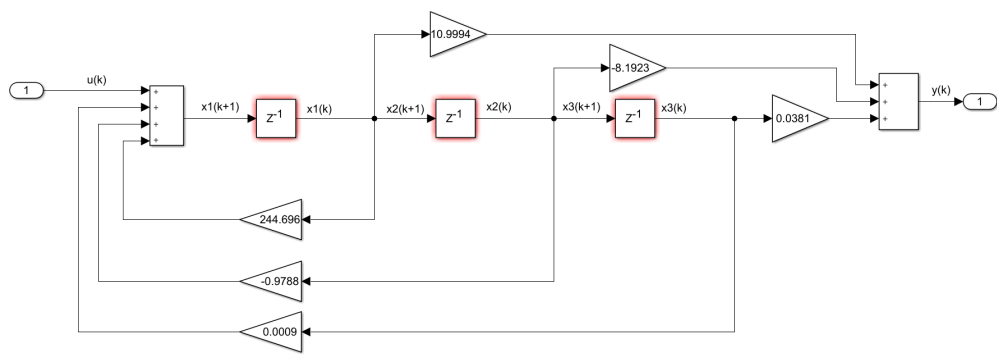
$$D = 0$$

$$x_1(k+1) = 244.696x_1(k) - 0.9788x_2(k) + 0.0009x_3(k) + u(k)$$

$$x_2(k+1) = x_1(k)$$

$$x_3(k+1) = x_2(k)$$

$$y(k) = 10.9994x_1(k) - 8.1923x_2(k) + 0.0381x_3(k)$$



## Warient drugi

$$\mathbf{A} = \begin{bmatrix} -a_{n-1} & 1 & 0 & \dots & 0 \\ -a_{n-2} & 0 & 1 & \dots & 0 \\ \dots & \dots & \dots & \dots & \dots \\ -a_1 & 0 & 0 & \dots & 1 \\ -a_0 & 0 & 0 & \dots & 0 \end{bmatrix} \quad \mathbf{B} = \begin{bmatrix} b_{n-1} \\ b_{n-2} \\ \dots \\ b_0 \end{bmatrix}$$

$$\mathbf{C} = [1 \quad 0 \quad \dots \quad 0]$$

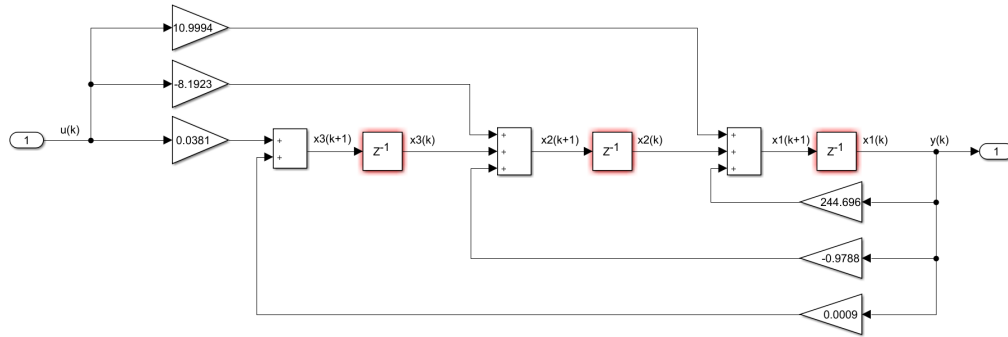
$$D = 0$$

$$x_1(k+1) = 244.696x_1(k) + x_2(k) + 10.9994u(k)$$

$$x_2(k+1) = -0.9788x_1(k) + x_3(k) - 8.1923u(k)$$

$$x_3(k+1) = 0.0009x_1(k) + 0.0381u(k)$$

$$y(k) = x_1(k)$$



## Sprowadzenie do transmitancji

$$G(z) = \mathbf{C}(z\mathbf{I} - \mathbf{A})^{-1}\mathbf{B} + D$$

### Wariant pierwszy

$$\mathbf{A} = \begin{bmatrix} 244.696 & -0.9788 & 0.0009 \\ 1 & 0 & 0 \\ 0 & 1 & 0 \end{bmatrix} \quad \mathbf{B} = \begin{bmatrix} 1 \\ 0 \\ 0 \end{bmatrix}$$

$$\mathbf{C} = [10.9994 \quad -8.1923 \quad 0.0381]$$

$$D = 0$$

$$\begin{aligned} G_1(z) &= \mathbf{C} \begin{bmatrix} z - 244.696 & 0.9788 & -0.0009 \\ -1 & z & 0 \\ 0 & -1 & z \end{bmatrix}^{-1} \mathbf{B} = \\ &= \frac{\mathbf{C} \begin{bmatrix} z^2 & -0.9788z - 0.0009 & 0.0009z \\ z & z^2 - 244.696z & 0.0009 \\ 1 & z - 244.696 & z^2 - 244.696z - 0.9788 \end{bmatrix} \mathbf{B}}{z^3 - 244.696z^2 + 0.9788z + 0.0009} = \\ &= \frac{[10.9994 \quad -8.1923 \quad 0.0381] \begin{bmatrix} z^2 \\ z \\ 1 \end{bmatrix}}{z^3 - 244.696z^2 + 0.9788z + 0.0009} = \\ &= \frac{10.9994z^{-1} - 8.1923z^{-2} + 0.0381z^{-3}}{1 - 244.696z^{-1} + 0.9788z^{-2} + 0.0009z^{-3}} \end{aligned}$$

### Warient drugi

$$\mathbf{A} = \begin{bmatrix} 244.696 & 1 & 0 \\ -0.9788 & 0 & 1 \\ 0.0009 & 0 & 0 \end{bmatrix} \mathbf{B} = \begin{bmatrix} 10.9994 \\ -8.1923 \\ 0.0381 \end{bmatrix}$$

$$\mathbf{C} = [1 \quad 0 \quad 0]$$

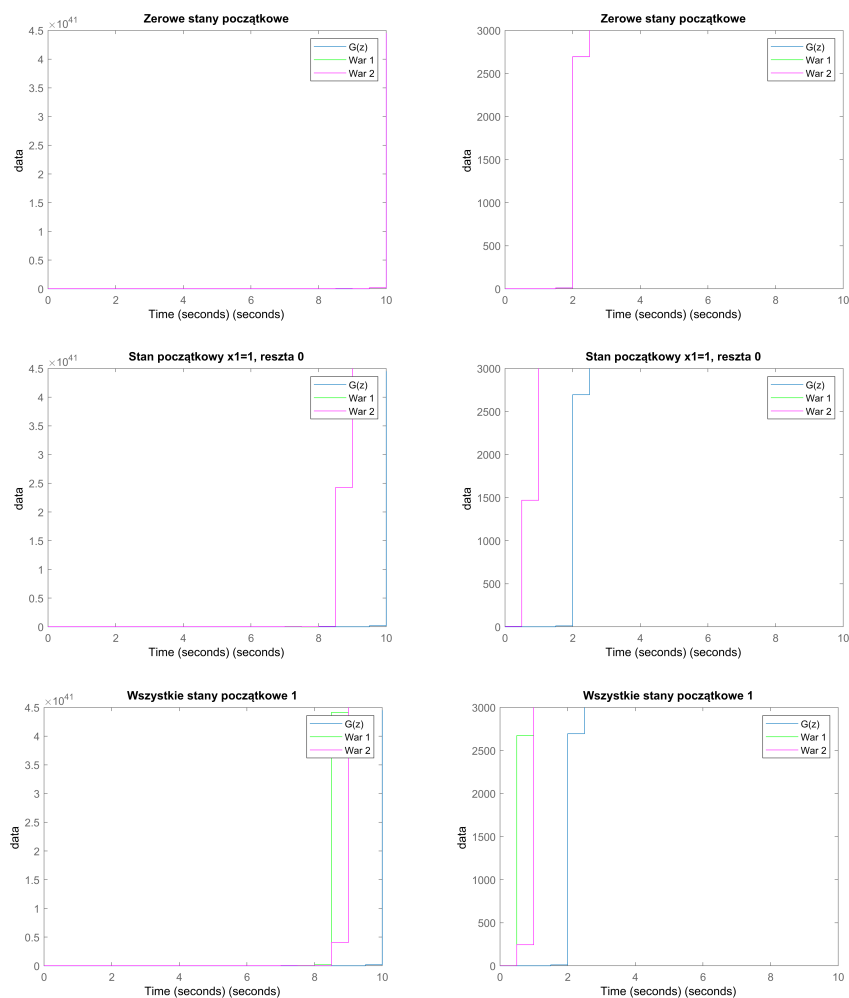
$$D = 0$$

$$\begin{aligned} G_2(z) &= \mathbf{C} \begin{bmatrix} z - 244.696 & -1 & 0 \\ 0.9788 & z & -1 \\ -0.0009 & 0 & z \end{bmatrix}^{-1} \mathbf{B} = \\ &= \frac{\mathbf{C} \begin{bmatrix} z^2 & z & 1 \\ -0.9788z - 0.0009 & z^2 - 244.696z & z - 244.696 \\ 0.0009z & 0.0009 & z^2 - 244.696z + 0.9788 \end{bmatrix} \mathbf{B}}{z^3 - 244.696z^2 + 0.9788z + 0.0009} = \\ &= \frac{[1 \quad 0 \quad 0] \begin{bmatrix} 10.9994z^2 - 8.1923z + 0.0381 \\ b_2(a_{21} + a_{22} + a_{23}) \\ b_3(a_{31} + a_{32} + a_{33}) \end{bmatrix}}{z^3 - 244.696z^2 + 0.9788z + 0.0009} = \\ &= \frac{10.9994z^{-1} - 8.1923z^{-2} + 0.0381z^{-3}}{1 - 244.696z^{-1} + 0.9788z^{-2} + 0.0009z^{-3}} \end{aligned}$$

$$G_1(z) = G_2(z) = \frac{10.9994z^{-1} - 8.1923z^{-2} + 0.0381z^{-3}}{1 - 244.696z^{-1} + 0.9788z^{-2} + 0.0009z^{-3}}$$

## Odpowiedzi skokowe

Modele są bardzo niestabilne, co widać na wykresach. Można się było niestabilności spodziewać, bo w transmitancji ciągłej procesu występuje biegun dodatni  $s_1 = 11$ . Oba modele mają identyczne wyjście dla wartości początkowych równych zero, ale już przy zmianie wartości początkowej jednego stanu, tu  $x_1$ , z 0 na 1, jak i wszystkich stanów odpowiedzi skokowe bardzo się różnią.



## Sterowalność i obserwowalność

### Sterowalność

Wyznacznik macierzy sterowalności:

$$\begin{aligned} st &= |\mathbf{B} \quad \mathbf{AB} \quad \mathbf{A}^2\mathbf{B}| = \\ &= \left| \begin{bmatrix} 10.9994 \\ -8.1923 \\ 0.0381 \end{bmatrix} \begin{bmatrix} 244.696 & 1 & 0 \\ -0.9788 & 0 & 1 \\ 0.0009 & 0 & 0 \end{bmatrix} \begin{bmatrix} 10.9994 \\ -8.1923 \\ 0.0381 \end{bmatrix} \begin{bmatrix} 244.696 & 1 & 0 \\ -0.9788 & 0 & 1 \\ 0.0009 & 0 & 0 \end{bmatrix}^2 \begin{bmatrix} 10.9994 \\ -8.1923 \\ 0.0381 \end{bmatrix} \right| = \\ &= \begin{vmatrix} 10.9994 & 2683.3 & 658590 \\ -8.1923 & -10.7281 & -2626.4 \\ 0.0381 & 0.0099 & 2.415 \end{vmatrix} \approx -296.9144 \end{aligned}$$

Wyznacznik sterowalności  $st \neq 0$ , więc układ jest sterowalny.

### Obserwowalność

Wyznacznik macierzy obserwowalności:

$$\begin{aligned} ob &= \begin{vmatrix} \mathbf{C} \\ \mathbf{CA} \\ \mathbf{CA}^2 \end{vmatrix} = \\ &= \begin{vmatrix} \begin{bmatrix} 1 & 0 & 0 \end{bmatrix} \begin{bmatrix} 244.696 & 1 & 0 \\ -0.9788 & 0 & 1 \\ 0.0009 & 0 & 0 \end{bmatrix} \\ \begin{bmatrix} 1 & 0 & 0 \end{bmatrix} \begin{bmatrix} 244.696 & 1 & 0 \\ -0.9788 & 0 & 1 \\ 0.0009 & 0 & 0 \end{bmatrix}^2 \end{vmatrix} = \\ &= \begin{vmatrix} 1 & 0 & 0 \\ 244.696 & 1 & 0 \\ 59876 & 244.696 & 1 \end{vmatrix} = 1 \end{aligned}$$

Wyznacznik obserwowalności  $ob$  jest równy 1, więc układ jest obserwowalny.



## Regulator ze sprzężeniem od stanu

Sygnał sterujący w regulatorze ze sprzężeniem od stanu wyznaczany jest funkcją liniową

$$u(k) = -\mathbf{K}^T \mathbf{x}(k) = - \begin{bmatrix} k_1 & \dots & k_n \end{bmatrix} \begin{bmatrix} x_1(k) \\ \dots \\ x_n(k) \end{bmatrix}$$

Wektor  $K$  dobiera się tak, aby

$$|z\mathbf{I} - (\mathbf{A} - \mathbf{BK})| = (z - z_1)\dots(z - z_n) = 0$$

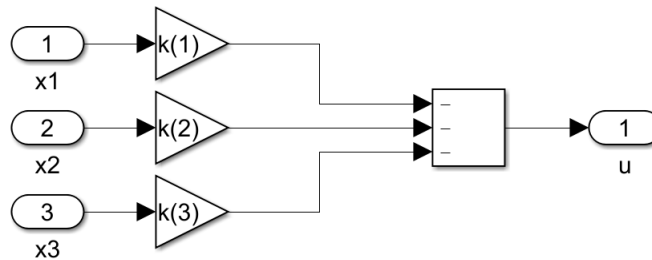
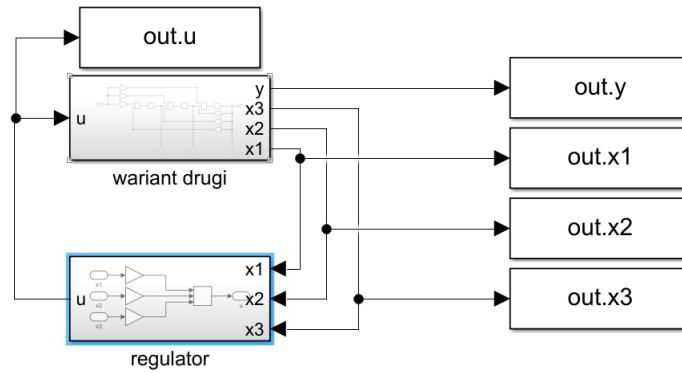
gdzie  $z_k$  to z góry zadane wartości.

$$\left| \begin{bmatrix} z & 0 & 0 \\ 0 & z & 0 \\ 0 & 0 & z \end{bmatrix} - \left( \begin{bmatrix} 244.696 & 1 & 0 \\ -0.9788 & 0 & 1 \\ 0.0009 & 0 & 0 \end{bmatrix} - \begin{bmatrix} 10.9994 \\ -8.1923 \\ 0.0381 \end{bmatrix} \begin{bmatrix} k_1 & k_2 & k_3 \end{bmatrix} \right) \right| =$$

$$= z^3 + (10.9994k_1 - 8.1923k_2 + 0.0381k_3 - 244.696)z^2 +$$

$$+ (0.9788 - 8.1923k_1 + 1993.9k_2 - 9.313k_3)z +$$

$$+ (0.0381k_1 - 9.313k_2 + 0.0299k_3 - 0.0009)$$



Struktura regulatora

## Pierwsza wersja regulatora

W pierwszej wersji regulator ma potrójne zero o wartości rzeczywistej, zatem

$$\begin{aligned} & z^3 + (10.9994k_1 - 8.1923k_2 + 0.0381k_3 - 244.696)z^2 + \\ & + (-8.1923k_1 + 1993.9k_2 - 9.313k_3 + 0.9788)z + \\ & + (0.0381k_1 - 9.313k_2 + 0.0299k_3 - 0.0009) = \\ & = (z - z_0)^3 = z^3 - 3z_0z^2 + 3z_0^2z - z_0^3 \end{aligned}$$

Z powyższej równości otrzymujemy układ równań współczynników:

$$\begin{bmatrix} -3z_0 + 244.696 \\ 3z_0^2 - 0.9788 \\ -z_0^3 + 0.0009 \end{bmatrix} = \begin{bmatrix} 10.9994 & -8.1923 & 0.0381 \\ -8.1923 & 1993.9 & -9.313 \\ 0.0381 & -9.313 & 0.0299 \end{bmatrix} \begin{bmatrix} k_1 \\ k_2 \\ k_3 \end{bmatrix}$$

Do obliczenia współczynników  $k_1$ ,  $k_2$  i  $k_3$  użyto funkcji dzielenia lewostronnego MATLABa. Wyliczone wartości współczynników to:

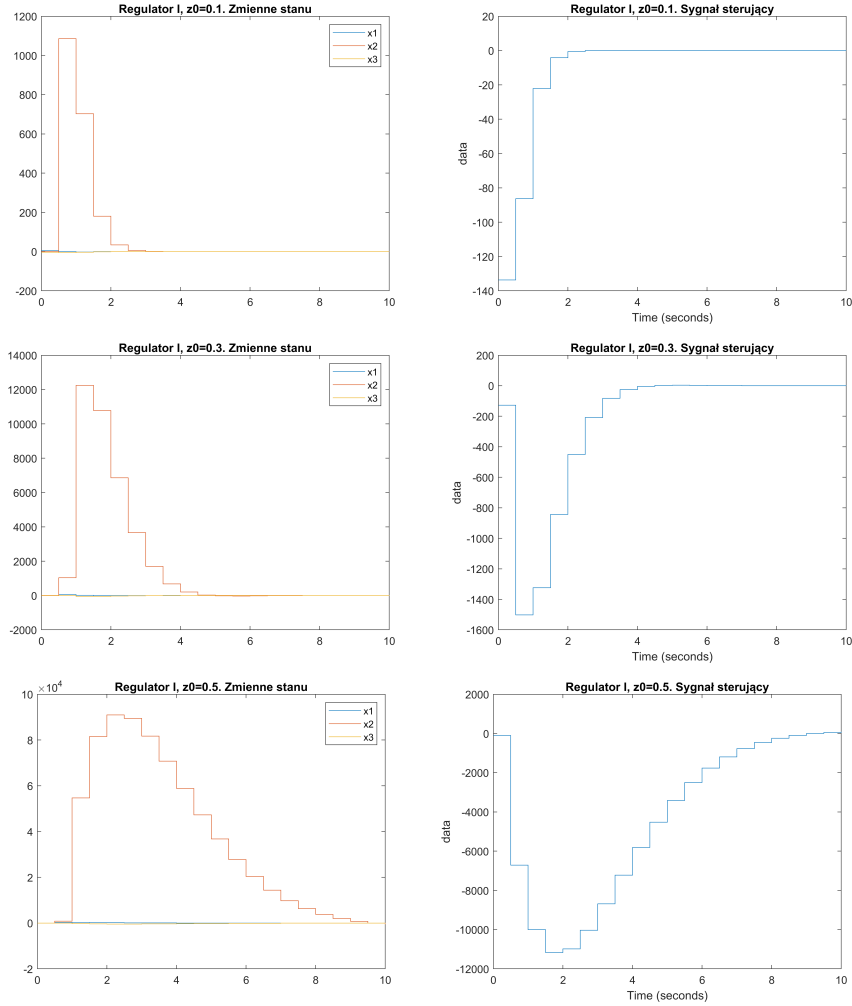
$$\begin{aligned} k_1 &= 0.0011z_0^3 + 0.0011z_0^2 - 0.2736z_0 + 22.3142 \\ k_2 &= 0.3435z_0^3 - 0.0033z_0^2 - 0.0011z_0 + 0.0912 \\ k_3 &= 73.5367z_0^3 - 1.0304z_0^2 + 0.0033z_0 + 0.0006 \end{aligned}$$

$$u(k) = -\mathbf{K}^T \mathbf{x}(k) = - \begin{bmatrix} k_1 & k_2 & k_3 \end{bmatrix} \begin{bmatrix} x_1(k) \\ x_2(k) \\ x_n(k) \end{bmatrix}$$

Jako czas końcowy  $t_{konc}$  przyjęto czas dla którego wszystkie zmienne stanu spadły poniżej  $10^{-3}$ . Przeprowadzono symulacje dla trzech wartości biegunów:  $z_0 = 0.1$ ,  $z_0 = 0.3$  i  $z_0 = 0.5$ . Poniżej przedstawiono czasay  $t_{konc}$  i wykresy zmiennych stanu i sygnału sterującego dla każdego z nich w pierwszych 10 sekund symulacji.

Czasy końcowe  $t_{konc}$  osiągnęły odpowiednio:

$z_0$	0.1	0.3	0.5
$t_{konc}$	5s	12.5s	36s



Z powyższych rysunków wynika, że najlepsze wyniki osiąga się przy biegach blisko zera, co odpowiada oczekiwaniom. Biegun dyskretny można wyznaczyć ze wzoru  $z_0 = \exp(s_0 T)$ , zatem dla szybkich biegunów ciągłych o dużej części rzeczywistej odpowiadają bieguny dyskretnie o małej części rzeczywistej. Nie można przyjmować więc zerowych biegunów regulatora dyskretnego, ponieważ odpowiadałyby nieskończonym biegunom ciągłym.

## Druga wersja regulatora

W drugiej wersji regulator ma jedno zero rzeczywiste i sprzężoną parę zer zespolonych. Oznaczenia używane w dalszej części to  $z_0$  dla zera rzeczywistego, oraz  $a$  i  $b$  dla zer zespolonych w postaci  $z_{1,1} = a + bj$  i  $z_{1,2} = a - bj$ . Ponieważ pokazano już wpływ zera rzeczywistego, zostało ono ustalone na  $z_0 = a = 0.3$ .

$$\begin{aligned}
& z^3 + (10.9994k_1 - 8.1923k_2 + 0.0381k_3 - 244.696)z^2 + \\
& + (-8.1923k_1 + 1993.9k_2 - 9.313k_3 + 0.9788)z + \\
& + (0.0381k_1 - 9.313k_2 + 0.0299k_3 - 0.0009) = \\
& = (z - z_0)(z^2 - 2Re(z_1)z + |z_1|^2) = (z - z_0)(z^2 - 2az + (a^2 + b^2)) = \\
& = z^3 + (-2a - z_0)z^2 + (a^2 + 2z_0a + b^2)z - z_0(a^2 + b^2)
\end{aligned}$$

Z powyższej równości otrzymujemy układ równań współczynników:

$$\begin{bmatrix} -2a - z_0 + 244.696 \\ a^2 + 2z_0a + b^2 - 0.9788 \\ -z_0(a^2 + b^2) + 0.0009 \end{bmatrix} = \begin{bmatrix} 10.9994 & -8.1923 & 0.0381 \\ -8.1923 & 1993.9 & -9.313 \\ 0.0381 & -9.313 & 0.0299 \end{bmatrix} \begin{bmatrix} k_1 \\ k_2 \\ k_3 \end{bmatrix}$$

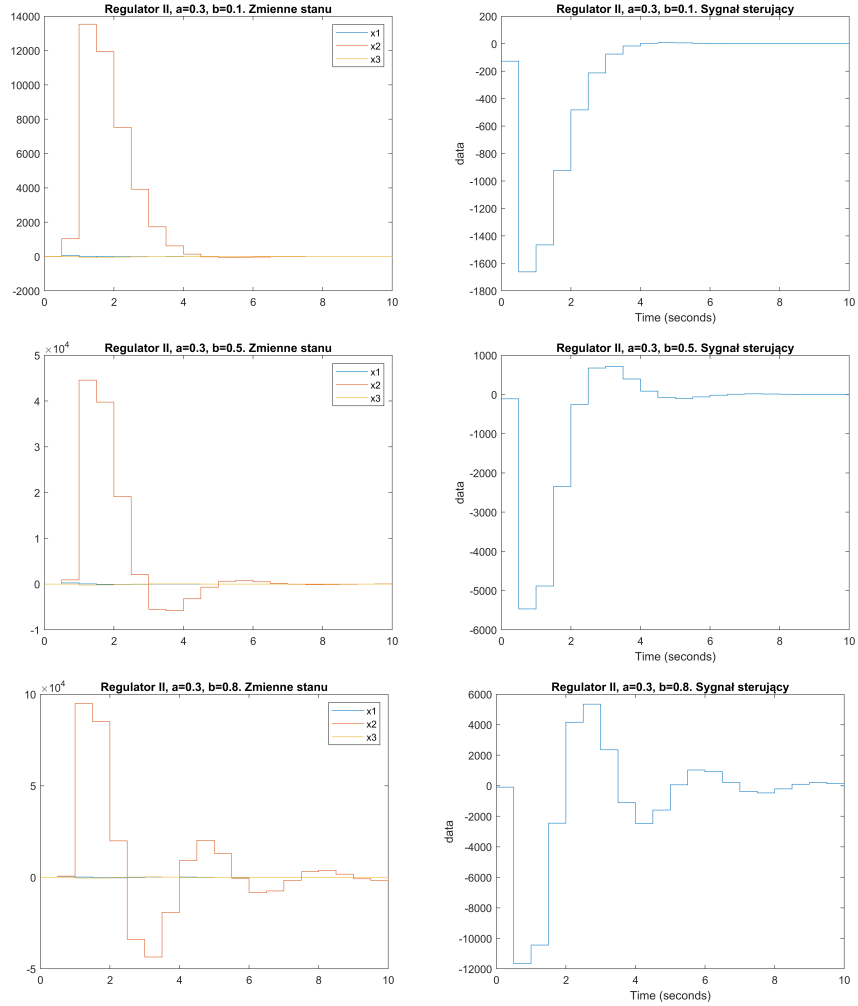
Jak wcześniej, wartości parametrów zostały wyznaczone w MATLABie.

$$\begin{aligned}
k_1 &= z_0(0.0011a^2 + 0.0011b^2 + 0.0007a - 0.0912) \\
&+ 0.0004a^2 + 0.0004b^2 - 0.1824a + 22.3142 \\
k_2 &= -z_0(-0.3435a^2 - 0.3435b^2 + 0.0022a + 0.0004) \\
&- 0.0011a^2 - 0.0011b^2 - 0.0007a + 0.0915 \\
k_3 &= z_0(73.5367a^2 + 73.5367b^2 - 0.687a + 0.0011) \\
&- 0.3435a^2 - 0.3435b^2 + 0.0022a + 0.0668 \\
u(k) &= -\mathbf{K}^T \mathbf{x}(k) = - \begin{bmatrix} k_1 & k_2 & k_3 \end{bmatrix} \begin{bmatrix} x_1(k) \\ x_2(k) \\ x_n(k) \end{bmatrix}
\end{aligned}$$

Czas końcowy  $t_{konc}$  wyznaczano tak samo jak w poprzednim przypadku. Poniżej przedstawiono czasy  $t_{konc}$  i wykresy zmiennych stanu i sterowanie dla różnych części rzeczywistych  $b$  przy ustalonych wartościach  $z_0 = 0.3$  i  $a = 0.3$ . Zmiana wartości parametru  $a$  wpływałaby na wyniki eksperymentów tak jak zmiana  $z_0$ , a to zostało już pokazane przy poprzednim regulatorze.

Czasy końcowe  $t_{konc}$  osiągnęły odpowiednio:

$a$	0.1	0.5	0.8
$t_{konc}$	12s	19.5s	38.5s



Z powyższych rysunków wynika, że od części urojonej pary sprzężonych biegunów zespolonych zależą oscylacje układu. Im większa wartość tej części (tu współczynnika  $b$ ), tym bardziej układ oscyluje. Oscylacje opóźniają stabilizację, są więc niepożądane.

## Najlepsze regulatory

Wybór najlepszych regulatorów spośród testowanych nie był zbyt trudny. Spośród regulatorów w wersji pierwszej najlepszy był regulator o  $z_0 = 0.1$ , a w wersji drugiej ten o  $b = 0.1$  ( $z_0 = 0.3$ ,  $a = 0.3$ ), zarówno ze względu na czas refulacji  $t_{konc}$ , maksymalne wartości sygnału sterującego  $u(k)$ , jak i wartości przyjmowanych przez zmienne stanu. W ogólności najlepsze regulatory nie miałyby biegunów zespolonych w celu uniknięcia oscylacji, oraz miałyby małe wartości rzeczywistych biegunów dla szybkiego sterowania. W praktyce, wartości rzeczywistych biegunów nie powinny być zbyt małe, ponieważ układ staje się mniej odporny na zmiany parametrów.

## Obserwator zredukowanego rzędu

Obserwator zredukowanego rzędu wymaga wektora  $\mathbf{C} = [1 \ 0 \ \dots \ 0]$ .

Zmienne stanu należy zapisać:  $x(k) = \begin{bmatrix} x_1(k) \\ \mathbf{w}(k) \end{bmatrix} = \begin{bmatrix} y(k) \\ \mathbf{w}(k) \end{bmatrix}$ .

Równania stanów zapisuje się w postaci:

$$\begin{aligned} y(k+1) &= \mathbf{A}_{11}y(k) + \mathbf{A}_{12}\mathbf{w}(k) + \mathbf{B}_1u(k) \\ \mathbf{w}(k+1) &= \mathbf{A}_{21}y(k) + \mathbf{A}_{22}\mathbf{w}(k) + \mathbf{B}_2u(k) \end{aligned}$$

$$\mathbf{w}(k+1) = (\mathbf{A}_{22} - \mathbf{L}\mathbf{A}_{12})\mathbf{w}(k) + (\mathbf{A}_{21} - \mathbf{L}\mathbf{A}_{11})y(k) + (\mathbf{B}_2 - \mathbf{L}\mathbf{B}_1)u(k) + \mathbf{L}y(k+1)$$

gdzie  $\mathbf{L}$  wyznaczone jest z  $|z\mathbf{I} - (\mathbf{A}_{22} - \mathbf{L}\mathbf{A}_{12})| = 0$ .

Aby uniknąć problemów z  $y(k+1)$  definiuje się zmienne pomocnicze

$$\mathbf{z}(k) = \mathbf{w}(k) - \mathbf{L}y(k)$$

$$\mathbf{z}(k+1) = (\mathbf{A}_{22} - \mathbf{L}\mathbf{A}_{12})(\mathbf{z}(k) + \mathbf{L}y(k)) + (\mathbf{A}_{21} - \mathbf{L}\mathbf{A}_{11})y(k) + (\mathbf{B}_2 - \mathbf{L}\mathbf{B}_1)u(k)$$

$$\mathbf{A} = \left[ \begin{array}{c|cc} 244.696 & 1 & 0 \\ -0.9788 & 0 & 1 \\ 0.0009 & 0 & 0 \end{array} \right] \mathbf{B} = \left[ \begin{array}{c} 10.9994 \\ -8.1923 \\ 0.0381 \end{array} \right] \mathbf{L} = \begin{bmatrix} l_2 \\ l_3 \end{bmatrix}$$

$$|z\mathbf{I} - (\mathbf{A}_{22} - \mathbf{L}\mathbf{A}_{12})| = \left| \begin{bmatrix} z & 0 \\ 0 & z \end{bmatrix} - \begin{bmatrix} 0 & 1 \\ 0 & 0 \end{bmatrix} + \begin{bmatrix} l_2 & 0 \\ l_3 & 0 \end{bmatrix} \right| = \left| \begin{bmatrix} z+l_2 & -1 \\ l_3 & z \end{bmatrix} \right| =$$

$$= z^2 + l_2z + l_3 = (z - z_2)(z - z_3) = z^2 - (z_2 + z_3)z + z_2z_3 = 0$$

gdzie  $z_2$  i  $z_3$  to pierwiastki obserwatora. Otrzymujemy więc

$$l_2 = -z_2 - z_3$$

$$l_3 = z_2z_3$$

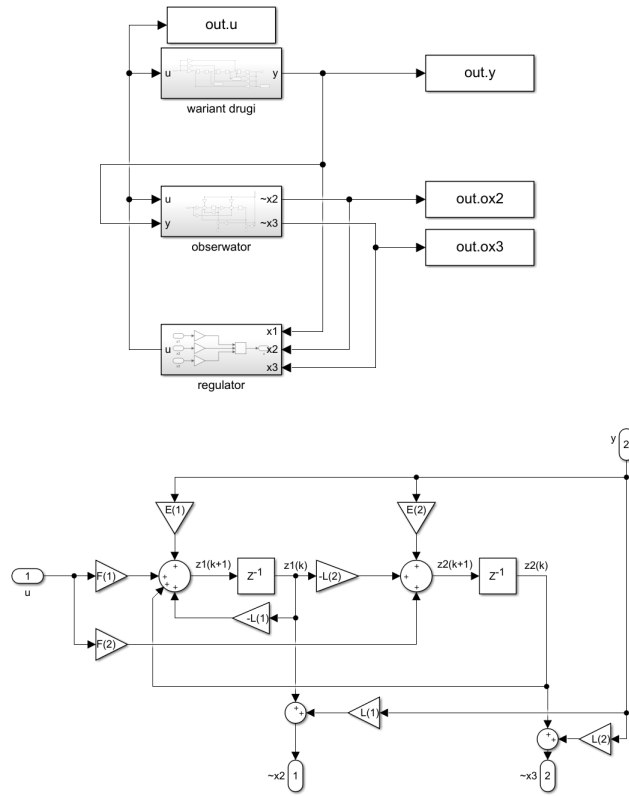
$$\mathbf{z}(k+1) = \begin{bmatrix} -l_2 & 1 \\ -l_3 & 0 \end{bmatrix} \begin{bmatrix} z_1 \\ z_2 \end{bmatrix} (k) + \begin{bmatrix} l_2 \\ l_3 \end{bmatrix} y(k) +$$

$$+ \begin{bmatrix} -0.9788 - 244.696 \times l_2 \\ 0.0009 - 244.696 \times l_3 \end{bmatrix} y(k) + \begin{bmatrix} -8.1923 - 10.9994 \times l_2 \\ 0.0381 - 10.9994 \times l_3 \end{bmatrix} u(k)$$

$$z_1(k+1) = -l_2 z_1(k) + z_2(k) + \mathbf{E}_1 y(k) + \mathbf{F}_1 u(k)$$

$$z_2(k+1) = -l_3 z_1(k) + \mathbf{E}_2 y(k) + \mathbf{F}_2 u(k)$$

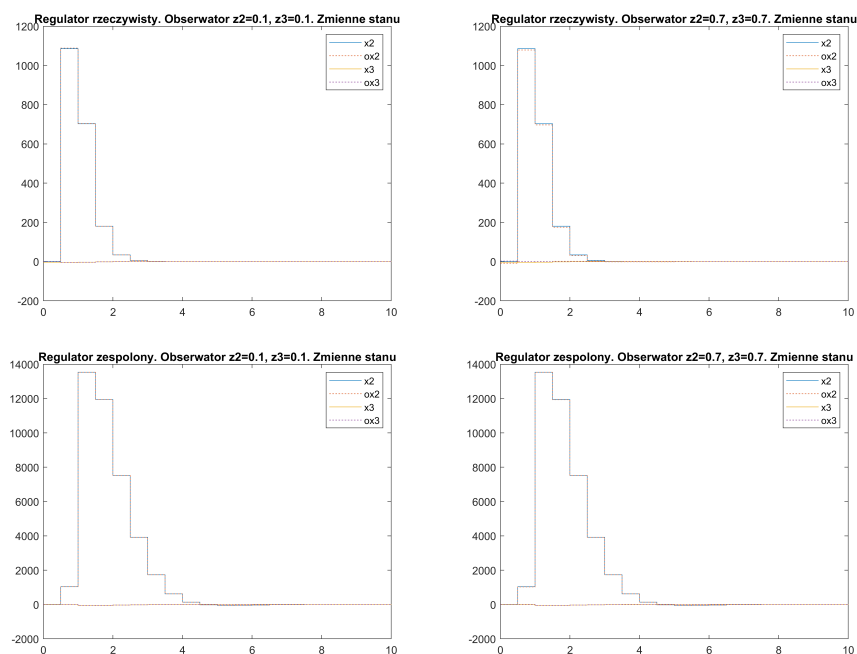
gdzie  $\mathbf{E} = \begin{bmatrix} -l_2^2 + l_3 - 0.9788 - 244.696 \times l_2 \\ -l_2 l_3 + 0.0009 - 244.696 \times l_3 \end{bmatrix}$  i  $\mathbf{F} = \begin{bmatrix} -8.1923 - 10.9994 \times l_2 \\ 0.0381 - 10.9994 \times l_3 \end{bmatrix}$



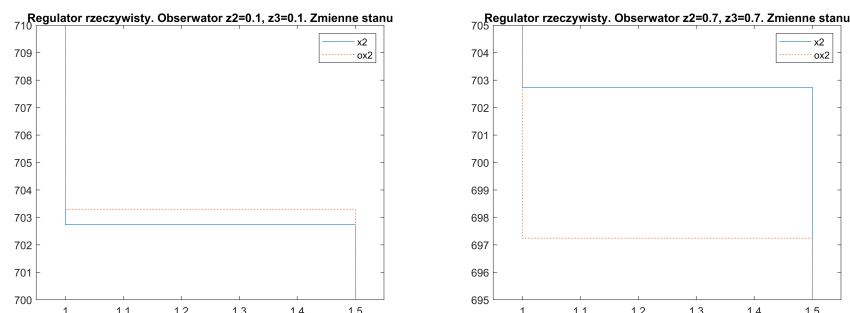
Struktura obserwatora

## Porównanie stanu obiektu i stanu z obserwatora

Jak widać na poniższych wykresach, obserwatory dość dobrze przybliżają wartości zmiennych stanu nawet dla "wolniejszego" wariantu obserwatora. Bieguny obserwatora na jego działanie wpływają poprzez zmianę precyzji i szybkości aproksymacji zmiennych stanu. Im większa wartość bieguna, tym wolniej zmienne stanu z obserwatora zbiegają do zmiennych stanu modelu, oraz są tym mniej dokładne.



Zmienne stanu i zmienne z obserwatora dla regulatorów z biegunami rzeczywistymi i zespolonymi.

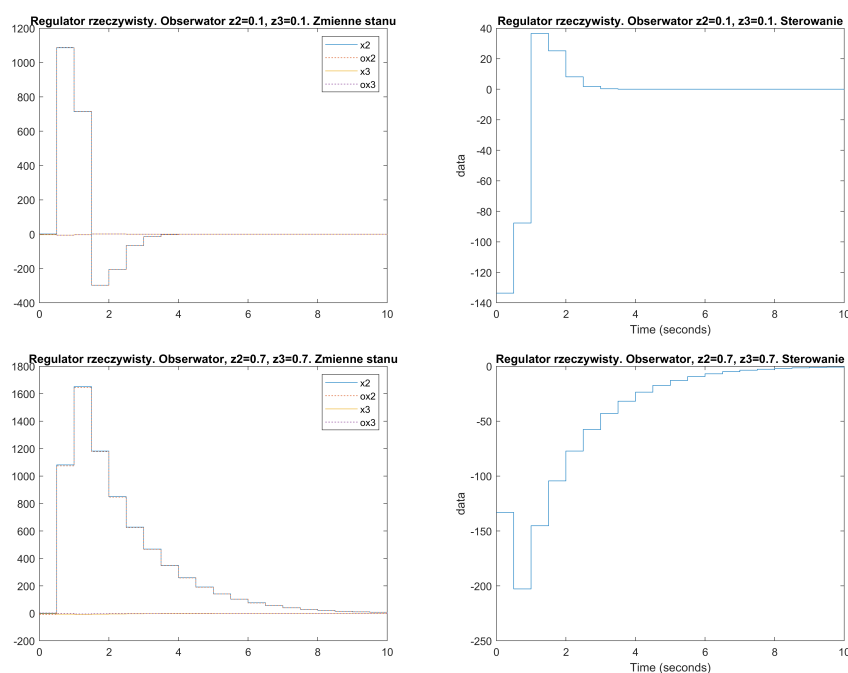


Porównanie jakości obserwatora szybkiego i "wolnego".



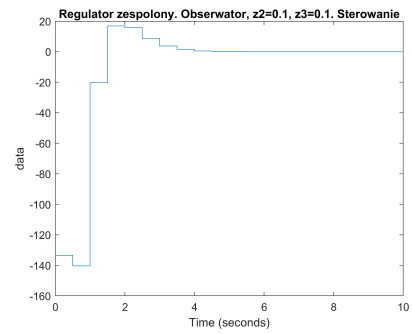
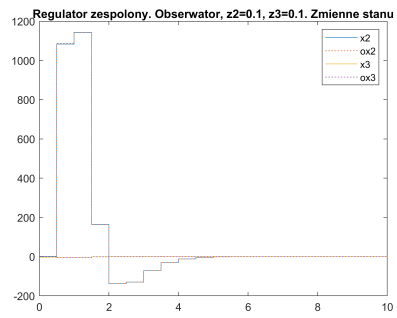
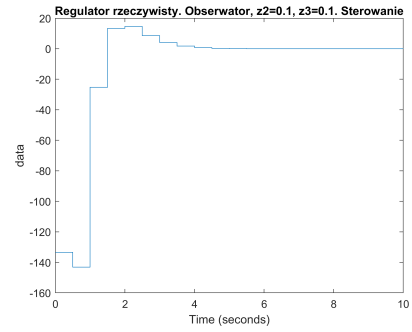
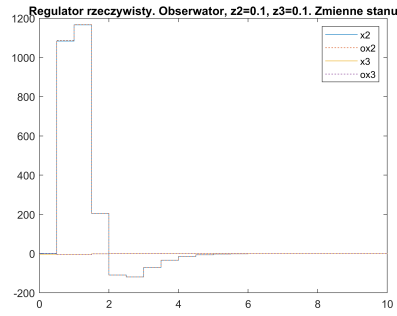
## Regulacja ze stanem obserwowanym

Wszystkie eksperymenty obserwatora przeprowadzono przy równych biegunach obserwatora. Dla obserwatora w wydaniu szybkim  $z_2 = z_3 = 0.1$  a w wydaniu wolnym -  $z_2 = z_3 = 0.7$ . Poniżej porównanie wyników dla najlepszego regulatora z biegunami rzeczywistymi, oraz rzeczywistym i sprzężoną parą biegunów zespolonych. Dodatkowo, ponieważ układ z regulatorem zespolonym był testowany dla jednej wartości części rzeczywistej biegunów odpowiadającej środkowemu z obserwatorów rzeczywistych, zostały zamieszczone również testy układu z tym regulatorem i obserwatorem.



Wyniki eksperymentów dla obserwatora szybkiego i wolnego przy regulatorze o biegunach rzeczywistych. Bieguny regulatora -  $z_0 = 0.1$ .

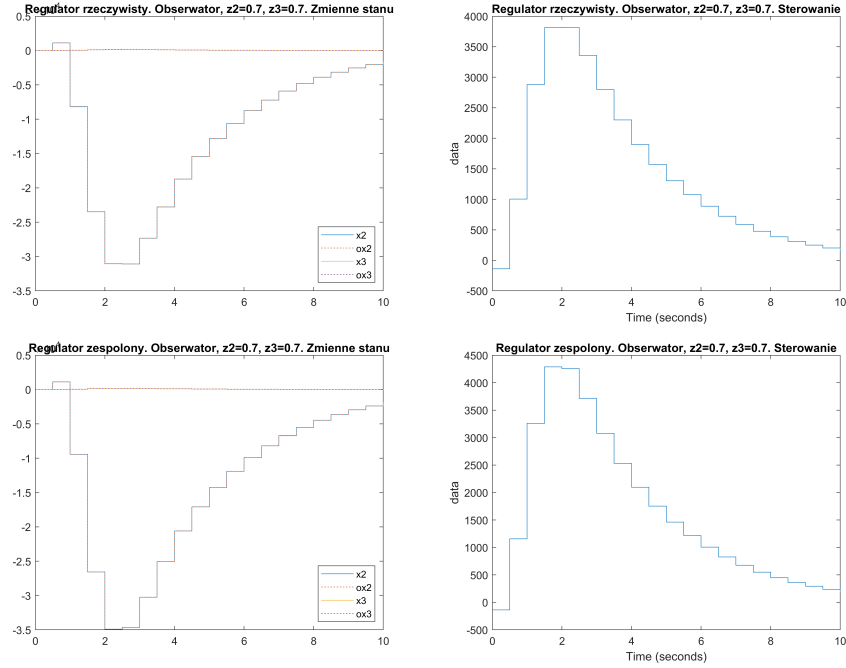
Jak widać z powyższych wykresów układ z obserwatorem jest stabilny i zmienne stanu z obserwatora są bliskie rzeczywistym, znaczy obserwator działa jak należy, choć widocznie gorzej niż przy mierzonych zmiennych stanu.



Wyniki eksperymentów dla obserwatora szybkiego przy regulatorze o biegunach rzeczywistych (górne rysunki) i zespolonych (dolne rysunki).

Bieguny regulatorów:  $I - z_0 = 0.3$ ,  $II - z_0 = a = 0.3, b = 0.1$ .

Dla szybkiego obserwatora wyniki eksperymentów niewiele się różnią, bo i regulatory niewiele się różnią.



Wyniki eksperymentów dla obserwatora wolnego przy regulatorze o biegunach rzeczywistych (górne rysunki) i zespolonych (dolne rysunki). Bieguny regulatorów:  $I - z_0 = 0.3$ ,  $II - z_0 = a = 0.3, b = 0.1$ .

Dla wolnego obserwatora wyniki również niewiele się różnią, choć zdecydowanie bardziej, niż poprzednio (np. wysokość pików jest zdecydowanie większa). W ogólności z powyższych rysunków wynika, że obserwatory dyskretne o małych wartościach biegunów są szybsze i sprawniejsze w działaniu. Jednak tak jak poprzednio nie można w praktyce nadać biegunom obserwatora dyskretnego wartości 0, ponieważ odpowiadałaby ona  $\infty$  dla przypadku ciągłego.